

## К ТЕОРИИ ГИРОГОРИЗОНТКОМПАСА

А. Ю. И ш л и н с к и й

(Киев)

1°. Ниже дается строгое изложение теории гироскопического компаса, чувствительный элемент которого представляет собой устройство, аналогичное так называемой гиросфере гироскопических компасов [1,2] типа «новый Аншютц».

Упомянутый чувствительный элемент можно рассматривать как совокупность двух гироскопов, оси кожухов которых параллельны друг другу, а подшипники их цапф жестко связаны с одной и той же рамой, именуемой в дальнейшем также гироскопической рамой или просто гирорамой (фиг. 1). В двухгироскопном компасе эта рама окружается сферической оболочкой и погружается в жидкость, чем осуществляется весьма совершенный подвес рамы, почти лишенный трения (фиг. 2).

Мы примем, что центр подвеса рамы перемещается по некоторой сфере  $S$  радиуса  $R$ , окружающей Землю, а силы тяготения рамы к Земле сводятся к единственной силе  $F$ , приложенной к центру тяжести рамы (совместно с гироскопами) и направленной к центру сферы.

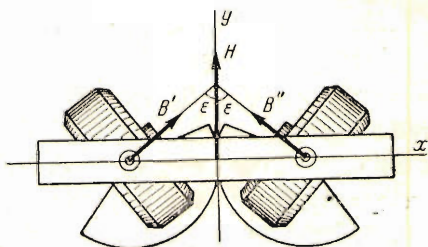
Будем считать, что сфера  $S$  не участвует во вращении Земли и не изменяет своей ориентации относительно неподвижных звезд. Поступательное перемещение сферы для дальнейшего несущественно, так как оно

происходит с исчезающе малым ускорением. Вследствие этого можно условиться центр сферы  $S$  считать неподвижным.

Рассмотрение движения чувствительного элемента относительно неподвижной сферы  $S$ , как показывает дальнейшее, представляет значительное удобство [3].

Пренебрежем силами трения в подвесе самой рамы и в подшипниках осей кожухов гироскопов, а также неизбежными несовершенствами сборки, например наличием аксиальных и радиальных люфтов в подшипниках и остаточным дебалансом гироскопов вокруг осей их кожухов.

Будем предполагать, что посредством специальной зубчатой передачи (или четырехзвенного механизма) повороты кожухов гироскопов относительно рамы, так же как и в случае чувствительного элемента двухгироскопного компаса, совершаются в разные стороны на углы, которые можно считать равными (фиг. 1 и 2).



Фиг. 1

2°. Следуя прецессионной (так называемой элементарной) теории гироскопических явлений, будем считать суммарный кинетический момент  $H$  всей гироскопической рамы равным геометрической сумме одинаковых по величине собственных кинетических моментов гироскопов  $B'$  и  $B''$ . Обозначим через  $2\varepsilon$  угол между осями собственного вращения гироскопов (фиг. 1). Тогда

$$H = 2B \cos \varepsilon \quad (B = B' = B'') \quad (1)$$

Суммарный кинетический момент  $H$  направлен по биссектрисе угла  $2\varepsilon$ ; из-за наличия упомянутой зубчатой передачи вектор  $H$  не изменяет своего расположения относительно рамы.

Свяжем с рамой систему координат  $xyz$  с началом в центре подвеса рамы, направив ось  $y$  параллельно вектору  $H$ , а ось  $z$  параллельно осям кожухов гироскопов; положение оси

$x$  определяется тем самым однозначно (фиг. 3).

Обозначим через  $\omega_x$ ,  $\omega_y$ ,  $\omega_z$  проекции на оси этой системы координат угловой скорости рамы относительно сферы  $S$  (или, что то же, по отношению к системе отсчета, связанной с неподвижными звездами). Выражения

$$\frac{dH_x}{dt} + \omega_y H_z - \omega_z H_y, \quad \frac{dH_y}{dt} + \omega_z H_x - \omega_x H_z, \quad \frac{dH_z}{dt} + \omega_x H_y - \omega_y H_x \quad (2)$$

представляют собой проекции скорости конца вектора кинетического момента гироскопической рамы  $H$  на оси  $x$ ,  $y$  и  $z$  в предположении, что начало вектора неподвижно. Согласно известной теореме механики эти проекции равны суммам моментов сил, действующих на раму вокруг соответственно тех же осей. Обозначим эти суммы через  $M_x$ ,  $M_y$  и  $M_z$ .

Кинетический момент рамы направлен по оси  $y$ . Следовательно,

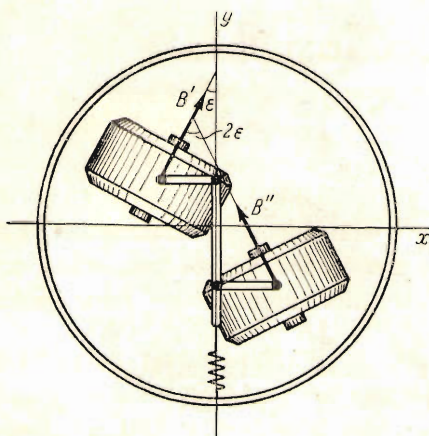
$$H_x = 0, \quad H_y = H = 2B \cos \varepsilon, \quad H_z = 0.$$

В результате имеем три уравнения:

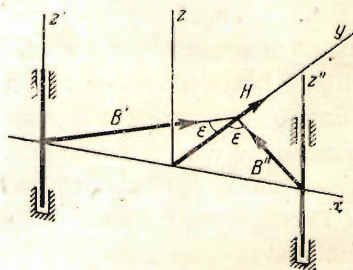
$$-\omega_z H = M_x, \quad \frac{dH}{dt} = M_y, \quad \omega_x H = M_z \quad (3)$$

Гироскопическая рама представляет собой в рассматриваемом случае механическую систему с четырьмя степенями свободы, поэтому для полного описания законов ее движения к уравнениям (3) следует составить еще одно уравнение, содержащее проекцию угловой скорости  $\omega_y$ . Для этой цели заметим, что проекции на ось  $z$  скорости концов собственных кинетических моментов гироскопов выражаются формулами

$$\omega_x B_{y'} - \omega_y B_{x'} = M_{z'}, \quad \omega_x B_{y''} - \omega_y B_{x''} = M_{z''} \quad (4)$$



Фиг. 2



Фиг. 3

Здесь  $M_z'$  и  $M_z''$  — суммы моментов сил, действующих на кожухи каждого из гироскопов вокруг осей этих кожухов, а величины  $B_x', B_y', B_x'', B_y''$  — проекции соответственно на оси  $x$  и  $y$  собственных кинетических моментов гироскопов рамы  $B'$  и  $B''$ . Очевидно (фиг. 3),

$$B_x' = -B_x'' = B \sin \varepsilon, \quad B_y' = B_y'' = B \cos \varepsilon \quad (5)$$

В соответствии с прецессионной (элементарной) теорией гироскопов в уравнениях движения механической системы учитываются лишь собственные кинетические моменты роторов гироскопов. Остальные кинетические моменты и соответственно изменения их не учитываются. Таким образом, следует считать, что силы, непосредственно приложенные к раме, взаимно уравновешиваются. В частности, имеем

$$M_z - M_z' - M_z'' = 0 \quad (6)$$

Здесь моменты  $-M_z'$  и  $-M_z''$  являются противодействием кожухов гироскопов, к осям которых со стороны рамы приложены моменты  $M_z'$  и  $M_z''$ . Подставляя в соотношение (6) выражения для моментов  $M_z'$  и  $M_z''$  согласно формулам (4), получим, учитывая равенства (1) и (5), вновь третье уравнение (3).

Составим теперь разность моментов  $M_z'$  и  $M_z''$  и обозначим ее через  $N$ . Согласно формулам (4) и (5) имеем

$$N = M_z' - M_z'' = -\omega_y 2B \sin \varepsilon \quad (7)$$

Момент  $N$  может быть создан посредством специального пружинного устройства (фиг. 2); в этом случае он будет являться функцией угла  $\varepsilon$ .

Итак, движение гироскопической рамы определяется в соответствии с соотношениями (3), (7) и формулой (1) следующими четырьмя уравнениями

$$\begin{aligned} -\omega_x 2B \cos \varepsilon &= M_x, & \omega_x 2B \cos \varepsilon &= M_z \\ \frac{d}{dt} 2B \cos \varepsilon &= M_y, & -\omega_y 2B \sin \varepsilon &= N \end{aligned} \quad (8)$$

3°. Оказывается, что параметры, характеризующие гироскопическую раму и, в частности, форму зависимости момента  $N$  от угла  $\varepsilon$ , можно выбрать так, что при соблюдении определенных начальных условий ось  $z$  будет все время нормальна к сфере  $S$ , каким бы образом ни перемещалась по ней точка подвеса рамы.

Для доказательства этой интересной теоремы теоретической механики следует обратиться к уравнениям (8) и выяснить, при каких обстоятельствах они могут удовлетворяться тождественно.

Введем некоторую подвижную систему координат  $\xi^* \eta^* \zeta^*$ , начало которой расположено в точке подвеса гироскопической рамы, а оси  $\xi^*$ ,  $\eta^*$  и  $\zeta^*$  ориентированы по неподвижным звездам. Уравнениями движения гироскопической рамы относительно такой системы координат как раз и являются уравнения (8). Наряду с силой тяготения к центру Земли и реакцией подвеса в число сил, действующих на раму, следует включить силы инерции ее переносного движения вместе с поступательно перемещающейся системой координат  $\xi^* \eta^* \zeta^*$ . Последние приводятся к единственной силе  $Q$ , приложенной к центру тяжести рамы. Проекция этой силы на оси координат  $x$ ,  $y$  и  $z$  имеют вид:

$$Q_x = -mw_x, \quad Q_y = -mw_y, \quad Q_z = -mw_z \quad (9)$$

Здесь  $m$  — масса рамы вместе с кожухами и роторами ее гироскопов;  $w_x$ ,  $w_y$  и  $w_z$  — проекции на оси системы координат ускорения точки подвеса рамы при ее движении по сфере  $S$ .

Согласно известным формулам кинематики [4]

$$\begin{aligned}w_x &= \frac{dv_x}{dt} + \omega_y v_z - \omega_z v_y \\w_y &= \frac{dv_y}{dt} + \omega_z v_x - \omega_x v_z \\w_z &= \frac{dv_z}{dt} + \omega_x v_y - \omega_y v_x\end{aligned}\quad (10)$$

где  $v_x$ ,  $v_y$ ,  $v_z$  — проекции скорости точки подвеса и  $\omega_x$ ,  $\omega_y$ ,  $\omega_z$  — проекции угловой скорости самой рамы, а следовательно, и системы координат  $x$ ,  $y$ ,  $z$  относительно сферы  $S$ . Так как, по предположению, точка подвеса перемещается по сфере  $S$  и ось  $z$  должна быть к последней нормальна, то [3]

$$v_x = \omega_y R, \quad v_y = -\omega_x R, \quad v_z = 0 \quad (11)$$

Проекции силы  $Q$  на оси системы координат  $xyz$  можно представить теперь, используя формулы (9), (10) и (11), в виде

$$\begin{aligned}Q_x &= -mR \left( \frac{d\omega_y}{dt} + \omega_z \omega_x \right), \quad Q_y = -mR \left( -\frac{d\omega_x}{dt} + \omega_z \omega_y \right) \\Q_z &= -mR (-\omega_x^2 - \omega_y^2)\end{aligned}\quad (12)$$

Пусть центр тяжести рамы расположен на отрицательной части оси  $z$  на расстоянии  $l$  от точки подвеса. Сила тяготения в рассматриваемом случае направлена по оси  $z$  и, следовательно, ее момент относительно точки подвеса равен нулю. То же относится к составляющей силы инерции переносного движения и силе реакции связи. Поэтому для определения моментов  $M_x$ ,  $M_y$  и  $M_z$  достаточно найти моменты сил  $Q_x$  и  $Q_y$  относительно осей  $x$ ,  $y$  и  $z$ . В результате получим выражения

$$M_x = lQ_y, \quad M_y = -lQ_x, \quad M_z = 0 \quad (13)$$

Подставляя эти выражения в уравнения (8) и учитывая формулы (11), получим следующие равенства:

$$\begin{aligned}-\omega_z 2B \cos \varepsilon &= mlR \left( \frac{d\omega_x}{dt} - \omega_y \omega_z \right), \quad \omega_x 2B \cos \varepsilon = 0 \\ \frac{d}{dt} (2B \cos \varepsilon) &= mlR \left( \frac{d\omega_y}{dt} + \omega_x \omega_z \right) \quad -\omega_y 2B \sin \varepsilon = N\end{aligned}\quad (14)$$

которые должны удовлетворяться тождественно.

Согласно третьему из них (если оставить в стороне исключительный случай  $\varepsilon = 1/2 \pi$ ) имеем

$$\omega_x = 0 \quad (15)$$

Теперь нетрудно видеть, что первые два равенства (14) удовлетворяются, если соблюдается условие

$$2B \cos \varepsilon = H = mlR \omega_y \quad (16)$$

Исключая посредством этого условия величину  $\omega_y$  из четвертого равенства (14), приходим к соотношению

$$N = -\frac{4B^2}{mlR} \cos \varepsilon \sin \varepsilon \quad (17)$$

которое определяет искомую форму зависимости момента  $N$  от угла  $\varepsilon$ .

Соотношения (14), (15), (16) и (17) позволяют выяснить, каковы должны быть начальные условия движения гироскопической рамы, чтобы описываемое движение оказалось возможным. Согласно соотношению (15) и второй формуле (11) имеем

$$v_y = 0 \tag{18}$$

Следовательно, в начальное мгновение времени ось  $x$ , связанная с гироскопической рамой, должна быть направлена по касательной к траектории точки подвеса при ее движении по сфере  $S$  (фиг. 4). Ось  $x$  будет касаться упомянутой траектории все время только при соблюдении также и остальных начальных условий, которые будут выяснены ниже.

В соответствии с первой формулой (11) и соотношениями (15) и (16) получаем равенство

$$2B \cos \varepsilon = mlv \tag{19}$$

где  $v$  — величина скорости точки подвеса рамы относительно сферы  $S$ . Следовательно, если в начальное мгновение скорость точки подвеса была  $v_0$ , то начальное значение угла  $\varepsilon_0$  должно определяться формулой

$$\cos \varepsilon_0 = \frac{mlv_0}{2B} \tag{20}$$

В дальнейшем при произвольном движении точки подвеса в силу второго равенства (14) и соотношения (15) формула (19) останется в силе в течение всего времени движения. Наконец, в начальное мгновение времени ось  $z$ , параллельная осям кожухов гироскопов, должна быть нормальна к сфере  $S$ . При соблюдении перечисленных условий момент  $N$  согласно соотношению (17) будет именно таким, чтобы в силу четвертого уравнения (14) определяемая им составляющая угловой скорости рамы  $\omega_y$  удовлетворяла бы первому равенству (11).

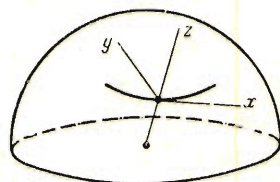
Если в начальное мгновение условия (18) и (20) удовлетворены с малой погрешностью и ось  $z$  отклонена от нормали к поверхности  $S$  на малый угол, то движение рамы может быть исследовано посредством изучения малых колебаний около движения, при котором начальные условия соблюдаются точно. К этому вопросу мы вернемся в п. 6°.

4°. Обратимся теперь к исследованию движения гирорамы относительно Земли, принимая ее за сферу радиуса  $R$  и считая, что все условия п. 3° соблюдены точно.

Введем подвижную систему координат  $\xi\eta\zeta$ , ось  $\xi$  которой направлена по касательной к параллели на восток, ось  $\eta$  по касательной к меридиану на север и ось  $\zeta$  по радиусу Земли кверху; начало координат расположим в точке подвеса рамы.

Обозначим через  $U$  угловую скорость Земли, через  $\varphi$  широту места (строго говоря, геоцентрическую) и через  $V_E$  и  $V_N$  соответственно восточную и северную составляющие скорости начала системы  $\xi\eta\zeta$  относительно Земли. Проекция на оси  $\xi$  и  $\eta$  скорости этой точки относительно сферы  $S$  представляются следующим образом:

$$v_\xi = V_E + UR \cos \varphi, \quad v_\eta = V_N \tag{21}$$

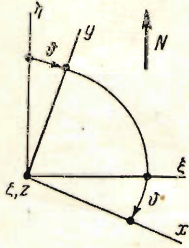


Фиг. 4

Используя теперь формулы (11), заменив в них предварительно буквы  $x$  и  $y$  соответственно на  $\xi$  и  $\eta$ , получим известные формулы

$$u_{\xi} = -\frac{V_N}{R}, \quad u_{\eta} = \frac{V_E}{R} + U \cos \varphi \quad (22)$$

для проекций угловой скорости трехгранника  $\xi\eta\zeta$  относительно системы координат  $\xi^*\eta^*\zeta^*$ , ориентированной по неподвижным звездам. Проекция упомянутой угловой скорости на ось  $\zeta$  выражается, как известно, формулой [1]



$$u_{\zeta} = \frac{V_E}{R} \operatorname{tg} \varphi + U \sin \varphi \quad (23)$$

Обозначим через  $\vartheta$  угол между осями  $y$  и  $\eta$ , отсчитывая положительное направление этого угла так, как показано на фиг. 5. Нетрудно видеть, что проекции угловой скорости системы координат  $xyz$ , связанной с гирорамой, на оси  $x$ ,  $y$  и  $z$  имеют при этом вид:

$$\omega_x = u_{\xi} \cos \vartheta - u_{\eta} \sin \vartheta, \quad \omega_y = u_{\xi} \sin \vartheta + u_{\eta} \cos \vartheta, \quad \omega_z = u_{\zeta} - \frac{d\vartheta}{dt} \quad (24)$$

В соответствии с законами движения гирорамы, изложенными в п. 3°, мы должны положить в первой из этих формул  $\omega_x = 0$ . Если, кроме того, заменить в ней величины  $u_{\xi}$  и  $u_{\eta}$  их представлением согласно формулам (22), то в результате получим

$$\operatorname{tg} \vartheta = -\frac{V_N}{RU \cos \varphi + V_E} \quad (25)$$

Таким образом, ось  $y$ , связанная с гирорамой, отклоняется от направления на север на угол  $\vartheta$ , который определяется формулой (25). Последняя совпадает с известной формулой так называемой скоростной девиации гироскопического компаса.

Обратимся теперь к соотношению (19) между кинетическим моментом гирорамы и скоростью движения ее точки подвеса по сфере  $S$ . Это соотношение, учитывая формулы (21) и (1), можно представить<sup>1</sup> следующим образом:

$$H = 2B \cos \varepsilon = ml \sqrt{(RU \cos \varphi + V_E)^2 + V_N^2} \quad (26)$$

Изложенное выше показывает, что соотношение (26) действительно обеспечивает точное следование девиации гироскопического компаса закону (25),

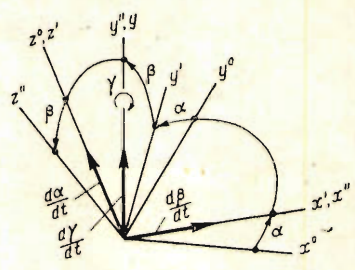
<sup>1</sup> Точно такое же соотношение было получено ранее В. Г. Железновым при уточнении известного условия Шулера  $H = mlRU \cos \varphi$  в приближенной теории гироскопических компасов. При соблюдении условия Шулера с некоторой степенью приближения девиация гироскопического компаса не зависит от предыдущих значений скорости корабля и его ускорения и определяется в основном формулой (25). Другими исследователями (Э. И. Слив, Я. Н. Ройтенберг) условие Шулера уточнялось (для случая высоких широт) посредством учета одной только восточной составляющей скорости корабля  $V_E$  и представлялось в виде  $H = ml(RU \cos \varphi + V_E)$ .

если только будет соблюдаться зависимость момента  $N$  от угла  $\epsilon$  в формуле (17) и, кроме того, будут соблюдены начальные условия, приведенные в п. 3°. Отметим, что ось  $z$ , связанная с гироскопической рамой, направлена в этом случае к центру земной сферы, и, следовательно, образует с вертикалью некоторый малый угол, зависящий от широты места.

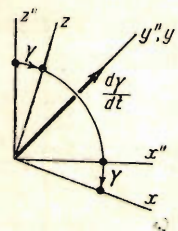
5°. Построим трехгранник Дарбу  $x^0 y^0 z^0$  с вершиной в точке подвеса гироскопа, ось  $x^0$  которого направим по вектору скорости точки подвеса рамы относительно сферы  $S$  и ось  $z^0$  нормально к сфере; направление оси  $y^0$  при этом полностью определится. Если начальные условия движения гироскопа, изложенные в п. 3°, соблюдены, то оси  $x$ ,  $y$  и  $z$ , связанные с гироскопом, все время совпадают с осями  $x^0$ ,  $y^0$  и  $z^0$  при произвольном перемещении трехгранника по поверхности  $S$ .

Рассмотрим общий случай начальных условий гироскопа и построим уравнения ее движения относительно трехгранника  $x^0 y^0 z^0$ .

Определим положение системы координат  $xyz$  относительно трехгранника  $x^0 y^0 z^0$  так, как показано на фиг. 6 и 7 посредством трех углов  $\alpha$ ,  $\beta$  и  $\gamma$ . Угол  $\alpha$  определяет поворот вокруг оси  $z$ , совпадающей с осью  $z^0$  вспомогательной системы координат  $x' y' z'$  относительно системы  $x^0 y^0 z^0$ ; угол  $\beta$  в свою очередь представляет собой угол поворота вокруг оси  $x''$  (или, что то же, оси  $x'$ ) другой вспомогательной системы координат,  $x'' y'' z''$  относительно первой, т. е. системы  $x' y' z'$ . Наконец, угол  $\gamma$  является углом поворота вокруг оси  $y$  (она же — ось  $y''$ ) системы координат  $xyz$  относительно системы  $x'' y'' z''$ . Таблица косинусов углов между системами координат  $xyz$  и  $x^0 y^0 z^0$  имеет вид:



Фиг. 6



Фиг. 7

	$x^0$	$y^0$	$z^0$	
$x$	$\cos \alpha \cos \gamma - \sin \alpha \sin \beta \sin \gamma$	$\sin \alpha \cos \gamma + \cos \alpha \sin \beta \sin \gamma$	$-\cos \beta \sin \gamma$	(27)
$y$	$-\sin \alpha \cos \beta$	$\cos \alpha \cos \beta$	$\sin \beta$	
$z$	$\cos \alpha \sin \gamma + \sin \alpha \sin \beta \cos \gamma$	$\sin \alpha \sin \gamma - \cos \alpha \sin \beta \cos \gamma$	$\cos \beta \cos \gamma$	

Чтобы получить проекцию угловой скорости системы координат  $xyz$  на ее же оси, следует взять сумму проекций на эти оси угловой скорости трехгранника  $x^0 y^0 z^0$  и относительных угловых скоростей:  $d\alpha/dt$  системы координат  $x' y' z'$  относительно  $x^0 y^0 z^0$ ,  $d\beta/dt$  — системы  $x'' y'' z''$  относительно  $x' y' z'$  и, наконец,  $d\gamma/dt$  системы координат  $xyz$  относительно системы  $x'' y'' z''$ .

Вектор угловой скорости  $d\alpha/dt$  направлен по оси  $z^0$ , а угловой скорости  $d\gamma/dt$  по оси  $y''$ ; в свою очередь вектор угловой скорости  $d\beta/dt$  имеет направление оси  $x'$ . Ось  $x'$ , совпадающая с осью  $x''$ , является пересечением координатных плоскостей  $x^0 y^0$  и  $zx$ ; она образует с осями системы координат соответственно углы  $\gamma$ ,  $1/2\pi$  и  $1/2\pi - \gamma$ .

Учитывая эти обстоятельства и таблицу косинусов (27), приходим к следующим выражениям для искомых проекций:

$$\omega_x = \omega_{x^0} (\cos \alpha \cos \gamma - \sin \alpha \sin \beta \sin \gamma) + \omega_{y^0} (\sin \alpha \cos \gamma + \cos \alpha \sin \beta \sin \gamma) + \left( \omega_{z^0} + \frac{d\alpha}{dt} \right) (-\cos \beta \sin \gamma) + \frac{d\beta}{dt} \cos \gamma \quad (28)$$

$$\omega_y = \omega_{x^0} (-\sin \alpha \cos \beta) + \omega_{y^0} \cos \alpha \cos \beta + \left( \omega_{z^0} + \frac{d\alpha}{dt} \right) \sin \beta + \frac{d\gamma}{dt}$$

$$\omega_z = \omega_{x^0} (\cos \alpha \sin \gamma + \sin \alpha \sin \beta \cos \gamma) + \omega_{y^0} (\sin \alpha \sin \gamma - \cos \alpha \sin \beta \cos \gamma) + \left( \omega_{z^0} + \frac{d\alpha}{dt} \right) \cos \beta \cos \gamma + \frac{d\beta}{dt} \sin \gamma$$

Здесь через  $\omega_{x^0}$ ,  $\omega_{y^0}$  и  $\omega_{z^0}$  обозначены проекции угловой скорости трехгранника  $x^0 y^0 z^0$  на его же собственной оси. В соответствии с формулами (11) имеем

$$\omega_{x^0} = -\frac{v_{x^0}^0}{R}, \quad \omega_{y^0} = \frac{v_{x^0}^0}{R} \quad (29)$$

где  $v_{x^0}^0$  и  $v_{y^0}^0$  — проекции скорости вершины трехгранника  $x^0 y^0 z^0$  на его оси  $x^0$  и  $y^0$ . Однако

$$v_{y^0}^0 = 0 \quad (30)$$

так как скорость вершины трехгранника, по предположению, направлена по оси  $x^0$ . Учитывая формулы (29) и равенство (30), получаем согласно выражениям (28) следующие формулы для проекций угловой скорости гироскопа на связанные с ней оси:

$$\omega_x = \frac{v}{R} (\sin \alpha \cos \gamma + \cos \alpha \sin \beta \sin \gamma) + \left( \omega + \frac{d\alpha}{dt} \right) (-\cos \beta \sin \gamma) + \frac{d\beta}{dt} \cos \gamma$$

$$\omega_y = \frac{v}{R} \cos \alpha \cos \beta + \left( \omega + \frac{d\alpha}{dt} \right) \sin \beta + \frac{d\gamma}{dt} \quad (31)$$

$$\omega_z = \frac{v}{R} (\sin \alpha \sin \gamma - \cos \alpha \sin \beta \cos \gamma) + \left( \omega + \frac{d\alpha}{dt} \right) \cos \beta \cos \gamma + \frac{d\beta}{dt} \sin \gamma$$

В этих формулах

$$v = v_{x^0}^0, \quad \omega = \omega_{z^0}^0 \quad (32)$$

соответственно скорость вершины трехгранника относительно сферы  $S$  и составляющая его угловой скорости вдоль нормали к этой сфере. Формулы (31) надлежит подставить в левые части уравнений (18) движения гироскопической рамы.

Перейдем теперь к подсчету правых частей тех же уравнений. Сила тяготения  $F$  гироскопической рамы к Земле согласно сделанному в п. 3<sup>о</sup> предположению направлена к центру сферы  $S$  и приложена к центру тяжести рамы. С большой степенью точности можно считать ее параллельной оси  $z^0$ . Тогда в соответствии с таблицей косинусов (27) ее проекции на оси  $x$ ,  $y$  и  $z$ , связанные с гироскопом, представляются выражениями

$$F_x = F \cos \beta \sin \gamma, \quad F_y = -F \sin \beta, \quad F_z = -F \cos \beta \cos \gamma \quad (33)$$



Для подсчета аналогичных проекций силы инерции  $Q$  переносного движения (см. п. 3°) следует сначала воспользоваться формулами (12), представив их, учитывая равенства (29), (30) и (32), в виде

$$Q_x = -m \frac{dv}{dt}, \quad Q_y = -m\omega v, \quad Q_z = m \frac{v^2}{R} \quad (34)$$

Заметим, что формулы (34) можно было получить и непосредственно, если учесть, что выражения

$$w_t = \frac{dv}{dt}, \quad w_p = \frac{v^2}{\rho_g}, \quad w_n = -\frac{v^2}{R} \quad (35)$$

представляют собой проекции ускорения точки, движущейся по сфере, на оси трехгранника Дарбу, связанного с траекторией этой точки. При этом следует учесть, что радиус геодезической кривизны траектории  $\rho_g$ , угловая скорость  $\omega$  вращения трехгранника Дарбу вокруг нормали к сфере (вокруг оси  $z^0$ ) и скорость его вершины  $v$  связаны соотношением

$$v = \omega \rho_g \quad (36)$$

Используя формулы (34) и таблицу косинусов (27), получим для проекций силы инерции  $Q$  на оси  $x$ ,  $y$  и  $z$ , связанные с гирорамой, следующие выражения:

$$Q_x = -m \frac{dv}{dt} (\cos \alpha \cos \gamma - \sin \alpha \sin \beta \sin \gamma) - m\omega v (\sin \alpha \cos \gamma + \cos \alpha \sin \beta \sin \gamma) + m \frac{v^2}{R} (-\cos \beta \sin \gamma) \quad (37)$$

$$Q_y = -m \frac{dv}{dt} (-\sin \alpha \cos \beta) - m\omega v \cos \alpha \cos \beta + m \frac{v^2}{R} \sin \beta$$

$$Q_z = -m \frac{dv}{dt} (\cos \alpha \sin \gamma + \sin \alpha \sin \beta \cos \gamma) - m\omega v (\sin \alpha \sin \gamma - \cos \alpha \sin \beta \cos \gamma) + m \frac{v^2}{R} \cos \beta \cos \gamma$$

Центр тяжести гироскопической рамы имеет в системе координат  $xuz$  следующие координаты:  $x_c = y_c = 0$ ,  $z_c = -l$ .

Поэтому искомые моменты  $M_x$ ,  $M_y$ ,  $M_z$  сил, действующих на гироскопическую раму, могут быть представлены формулами (38)

$$M_x = l(F_y + Q_y) + M_x^*, \quad M_y = -l(F_x + Q_x) + M_y^*, \quad M_z = M_z^*$$

где  $M_x^*$ ,  $M_y^*$ ,  $M_z^*$  — моменты относительно осей  $x$ ,  $y$  и  $z$  каких-либо иных сил (помимо сил тяготения и инерции), также приложенных к гироскопической раме.

Что касается силы реакции точки подвеса рамы или сил давления жидкости на гиросферу (в случае гироскопического компаса типа «Кур»), то их моменты относительно осей  $x$ ,  $y$ ,  $z$  порознь равны нулю. Заменяя

в формулах (38) величины  $F_x$ ,  $F_y$ ,  $Q_x$  и  $Q_y$  выражениями согласно равенствам (33) и (37), получим

$$\begin{aligned} M_x &= l \left[ -m \frac{dv}{dt} (-\sin \alpha \cos \beta) - m\omega v \cos \alpha \cos \beta + \left( m \frac{v^2}{R} - F \right) \sin \beta \right] + M_x^* \\ M_y &= -l \left[ -m \frac{dv}{dt} (\cos \alpha \cos \gamma - \sin \alpha \sin \beta \sin \gamma) - \right. \\ &\quad \left. - m\omega v (\sin \alpha \cos \gamma + \cos \alpha \sin \beta \sin \gamma) + \left( m \frac{v^2}{R} - F \right) (-\cos \beta \sin \gamma) \right] + M_y^* \\ M_z &= M_z^* \end{aligned} \quad (39)$$

Эти выражения, так же как и (31), надлежит подставить в уравнения (14). В результате получим следующие уравнения движения гироскопической рамы относительно трехгранника Дарбу:

$$\begin{aligned} - \left[ \frac{v}{R} (\sin \alpha \sin \gamma - \cos \alpha \sin \beta \cos \gamma) + \left( \omega + \frac{d\alpha}{dt} \right) \cos \beta \cos \gamma + \right. \\ \left. + \frac{d\beta}{dt} \sin \gamma \right] 2B \cos \varepsilon &= ml \frac{dv}{dt} \sin \alpha \cos \beta - ml\omega v \cos \alpha \cos \beta + \\ &\quad + \left( ml \frac{v^2}{R} - lF \right) \sin \beta + M_x^* \\ \frac{d}{dt} 2B \cos \varepsilon &= ml \frac{dv}{dt} (\cos \alpha \cos \gamma - \sin \alpha \sin \beta \sin \gamma) + ml\omega v (\sin \alpha \cos \gamma + \\ &\quad + \cos \alpha \sin \beta \sin \gamma) + \left( ml \frac{v^2}{R} - lF \right) \cos \beta \sin \gamma + M_y^* \\ \left[ \frac{v}{R} (\sin \alpha \cos \gamma + \cos \alpha \sin \beta \sin \gamma) - \left( \omega + \frac{d\alpha}{dt} \right) \cos \beta \sin \gamma + \right. \\ &\quad \left. + \frac{d\beta}{dt} \cos \gamma \right] 2B \cos \varepsilon &= M_z^* \\ - \left[ \frac{v}{R} \cos \alpha \cos \beta + \left( \omega + \frac{d\alpha}{dt} \right) \sin \beta + \frac{d\gamma}{dt} \right] 2B \sin \varepsilon &= N(\varepsilon) \end{aligned} \quad (40)$$

Уравнения (40) справедливы для любой гироскопической рамы. Если же в них положить

$$M_x^* = M_y^* = M_z^* = 0 \quad (41)$$

а для момента  $N(\varepsilon)$  воспользоваться формулой (17), то они будут относиться к движению нашей специальной гирорамы, свойства которой изложены в п. 3°. В этом случае уравнения (45), как и следовало ожидать, удовлетворяются тождественно, если в них положить

$$\alpha = \beta = \gamma = 0 \quad (42)$$

а угол  $\varepsilon$  определить из соотношения (19).

Функции  $v = v(t)$  и  $\omega = \omega(t)$ , задающие движение точки подвеса гирорамы по поверхности  $S$ , могут быть при этом совершенно произвольными. Движение гироскопической рамы при соблюдении соотношений (42) и (19) происходит так, как было описано в пп. 3° и 4°. Именно, кинетический момент рамы, имеющий направление оси  $y$ , при любом движении точки подвеса остается перпендикулярным к вектору скорости этой точки относительно сферы  $S$ ; ось  $z$ , параллельная осям кожухов гироскопов рамы, постоянно проходит через центр сферы.

6°. Уравнения (40) движения гироскопической рамы вокруг осей  $x^0y^0z^0$  трехгранника Дарбу, связанного с траекторией движения точки подвеса, слишком сложны для исследования движения рамы в самом общем случае. Поэтому ограничимся изучением малых движений рамы относительно этого трехгранника, в силу чего сохраним в уравнениях (40) лишь члены первого порядка относительно углов  $\alpha$ ,  $\beta$ ,  $\gamma$  и их производных по времени.

Имея в виду равенства (41) и формулу (17), получим

$$\begin{aligned} -\left(\frac{d\alpha}{dt} - \frac{v}{R}\beta + \omega\right)2B \cos \varepsilon &= l\left[m\frac{dv}{dt}\alpha - \left(F - m\frac{v^2}{R}\right)\beta - m\omega v\right] \\ \frac{d}{dt}(2B \cos \varepsilon) &= l\left[mv\omega\alpha - \left(F - m\frac{v^2}{R}\right)\gamma + m\frac{dv}{dt}\right] \\ \left(\frac{d\beta}{dt} + \frac{v}{R}\alpha - \omega\gamma\right)2B \cos \varepsilon &= 0 \\ -\left(\frac{d\gamma}{dt} + \frac{v}{R} + \omega\beta\right)2B \sin \varepsilon &= -\frac{4B^2}{mLR} \cos \varepsilon \sin \varepsilon \end{aligned} \quad (43)$$

Эти уравнения следует рассматривать как уравнения возмущенного движения гироскопической рамы по отношению к исходному движению, при котором углы  $\alpha$ ,  $\beta$ ,  $\gamma$  и  $\varepsilon$  определяются соотношениями (42) и (19). Обозначая в дальнейшем угол  $\varepsilon$  для невозмущенного движения через  $\varepsilon^0$ , положим в уравнениях (43)

$$\varepsilon = \varepsilon^0 + \delta \quad (44)$$

где  $\delta$  — малая величина того же порядка, что и углы  $\alpha$ ,  $\beta$  и  $\gamma$ . Сохраняя в уравнениях (43) члены первого порядка уже относительно всех четырех углов  $\alpha$ ,  $\beta$ ,  $\gamma$  и  $\delta$  и учитывая, что в соответствии с условием (19) следует положить

$$2B \cos \varepsilon^0 = mlv \quad (45)$$

придем к системе уравнений возмущенного движения гироскопической рамы

$$\begin{aligned} -mlv\frac{d\alpha}{dt} - ml\frac{dv}{dt}\alpha + lF\beta &= -\omega 2B \sin \varepsilon^0 \delta \\ \frac{d\beta}{dt} + \frac{v}{R}\alpha &= \omega\gamma, \quad \frac{d\gamma}{dt} + \frac{2B \sin \varepsilon^0}{mLR}\delta = -\omega\beta \\ -\frac{d}{dt}(2B \sin \varepsilon^0 \delta) + l\left(F - \frac{mv^2}{R}\right)\gamma &= \omega mlv\alpha \end{aligned} \quad (46)$$

Если скорость точки подвеса гироскопической рамы  $v$  и угловая скорость  $\omega$  трехгранника Дарбу вокруг нормали к сфере  $S$  постоянны, то система (46) становится однородной системой линейных дифференциальных уравнений с постоянными коэффициентами. Полагая приближенно, что

$$F - \frac{mv^2}{R} \approx F \approx mg \quad (47)$$

где  $g$  — ускорение силы тяжести, придем к характеристическому уравнению системы (46), корни которого суть

$$\pm i(\nu + \omega), \quad \pm i(\nu - \omega) \quad (48)$$

Здесь  $\nu = \sqrt{g/R}$  — частота, соответствующая периоду Шулера

$$T = 2\pi \sqrt{R/g} \quad (49)$$

Согласно приближенной теории пространственного гироскопа, принадлежащей Геккелеру [2], в данном случае должны были бы иметь место два не связанных между собой колебания, каждое с периодом Шулера: первое, относящееся к переменным  $\alpha$  и  $\beta$ , а второе — к переменным  $\gamma$  и  $\delta$ . Изложенное выше показывает, что теория Геккелера содержит существенные неточности, хотя и приводит в общем к правильным соотношениям типа (17) и (19) для выбора характерных параметров чувствительного элемента гироскопического компаса, плоскость  $xy$  которого при любых маневрах корабля остается горизонтальной ( $y$  Геккелера — почти горизонтальной).

Если оставить в силе приближенное равенство (47), то система уравнений (46) может быть проинтегрирована и в случае переменных величин  $\nu$  и  $\omega$ , т. е. при произвольном движении точки подвеса по сфере  $S$ .

Действительно, уравнения (46) можно, используя равенства (47) и (48), представить в виде

$$\frac{d}{dt} \frac{\nu\alpha}{VgR} - \nu\beta = \omega \frac{2B \sin \epsilon^0 \delta}{mlVgR}, \quad \frac{d\beta}{dt} + \nu \frac{\nu\alpha}{VgR} = \omega\gamma \quad (50)$$

$$\frac{d\gamma}{dt} + \nu \frac{2B \sin \epsilon^0}{mlVgR} \delta = -\omega\beta, \quad \frac{d}{dt} \left( \frac{2B \sin \epsilon^0}{mlVgR} \delta \right) - \nu\gamma = -\omega \frac{\nu\alpha}{VgR}$$

Введем теперь две новые комплексно-значные функции действительного аргумента  $t$  согласно формулам

$$\kappa(t) = \frac{\nu\alpha}{VgR} + i\beta, \quad \mu(t) = \gamma - i \frac{2B \sin \epsilon^0 \delta}{mlVgR} \quad (51)$$

Тогда, как нетрудно видеть, система уравнений (50) может быть заменена системой двух уравнений

$$\frac{d\kappa}{dt} + i\nu\kappa = i\omega\mu, \quad \frac{d\mu}{dt} + i\nu\mu = i\omega\kappa \quad (52)$$

Эта система в свою очередь распадается на два независимых уравнения

$$\begin{aligned} \frac{d}{dt} (\kappa + \mu) + i(\nu - \omega)(\kappa + \mu) &= 0 \\ \frac{d}{dt} (\kappa - \mu) + i(\nu + \omega)(\kappa - \mu) &= 0 \end{aligned} \quad (53)$$

которые немедленно интегрируются. Имеем

$$\begin{aligned} \kappa + \mu &= (\kappa_0 + \mu_0) \exp\left(-i \int_0^t (\nu - \omega) dt\right) \\ \kappa - \mu &= (\kappa_0 - \mu_0) \exp\left(-i \int_0^t (\nu + \omega) dt\right) \end{aligned} \quad (54)$$

где  $\kappa_0$  и  $\mu_0$  — начальные значения функций  $\kappa(t)$  и  $\mu(t)$  в мгновение времени  $t = 0$ .

Используя формулы (54) и (51), нетрудно уже представить в явном виде и искомые переменные  $\alpha$ ,  $\beta$ ,  $\gamma$ ,  $\delta$  как функции своих начальных значений  $\alpha_0$ ,  $\beta_0$ ,  $\gamma_0$ ,  $\delta_0$  и времени  $t$ .

По отношению к переменным  $v\alpha/\sqrt{gR}$ ,  $\beta$ ,  $\gamma$  и  $2B \sin \varepsilon^\circ/ml\sqrt{gR}$ , где  $\varepsilon^\circ$  определяется, согласно соотношению (45), формулой

$$\sin \varepsilon^\circ = \sqrt{1 - \left(\frac{mlv}{2B}\right)^2} \quad (55)$$

система уравнений (50) сводится к системе линейных дифференциальных уравнений с постоянными коэффициентами, если только угловая скорость  $\omega$  постоянна. Последняя выражается формулой

$$\omega = U \sin \varphi + \frac{V_E}{R} \operatorname{tg} \varphi - \frac{d\psi}{dt} \quad (56)$$

где  $\psi$  — истинный курс корабля, т. е. угол между вектором его скорости (точнее, скорости точки подвеса гироскопа) и меридианом места, отсчитываемый по стрелке часов от направления на север.

7°. Приведенная выше теория малых движений гироскопической рамы около подвижных осей трехгранника Дарбу, связанного с траекторией точки подвеса, приводит к колебаниям незатухающего характера. Вопрос о строгом обосновании устойчивости невозмущенного движения, определяемого нелинейными уравнениями (40), требует, разумеется, дополнительных исследований.

Введение в механическую систему гироскопа затухания, подобного тому, какое применяется в двухгироскопных компасах обычного типа, приведет к появлению баллистических девиаций, т. е. дополнительных отклонений переменных  $\alpha$ ,  $\beta$ ,  $\gamma$  и  $\delta$ , обусловленных законом изменения ускорения точки подвеса при движении ее по сфере  $S$ . Оценка этих девиаций также требует особого рассмотрения. Наконец, в дальнейшем представляется существенным определить искажения, вносимые в движение описанной гироскопической рамы отличием формы Земли от сферы.

Поступила 10 III 1956

#### ЛИТЕРАТУРА

1. Булгаков Б. В. Прикладная теория гироскопов. ГИТТЛ, М., 1955.
2. Граммель Р. Гироскоп, его теория и применение, т. II, ИЛ, М., 1952.
3. Ишлинский А. Ю. Об относительном равновесии физического маятника с подвижной точкой опоры. ПММ, т. XX, вып. 3, 1956.
4. Сулов Г. К. Теоретическая механика, ОГИЗ, Гостехиздат, 1944.